

---

# Versuch 1.8: I-U-Kennlinien an Halbleitern und Solarzellen

Dimitri Kana, Violetta Winkler

10 November 2015

---

## 1 Aufgabenstellung

Aufnahme von typischen Bauelementkennlinien einer Diode, eines Bipolartransistors sowie eines Feldeffekttransistors. Ermittlung des Bauteiltyps sowie der für die Elektronik wichtigen Bauteileigenschaften. Bestimmung der üblichen Kenngrößen verschiedener Solarzellen durch die Aufnahme von Dunkel- und Hellkennlinien.

## 2 Versuchsaufbau/Versuchsdurchführung

1. Zuerst wurde eine Diode auf einem Steckbrett mit einer Spannung verbunden. Durch manuelles Ausprobieren erfuhr man die Sperr- und Durchlassrichtung der Diode. Anschließend wurde die Diodenkennlinie aufgenommen und die Messdaten gespeichert.
2. Als nächstes wurde ein Bipolartransistor am Steckbrett geschaltet, mit einer Stromquelle verbunden (Basisstrom) und für verschiedene Basisströme wurden Kennlinien aufgenommen und gespeichert.
3. Weiter wurde ein Feldeffekttransistor an eine Gate-Source-Spannung angeschlossen. Für Variationen dieser Spannungen wurden Kennlinien aufgenommen.
4. Schließlich wurden noch Dunkel- und Hellkennlinien von Solarzellen (Monokristallin, Amorph), -ähnlich wie bei Dioden im ersten Punkt, aufgenommen. Dazu wurden der Abstand der Lichtquelle (100Watt) und die Fläche der Solarzellen notiert, um die bestrahlte Leistung zu ermitteln.

### 3 Messergebnisse/Auswertung

#### 3.1 Diode

Die Diode wird in Durchlassrichtung durch die Diodengleichung beschrieben:

$$I_D = I_S(T)(\exp(eU_F/nk_BT) - 1) \quad (1)$$

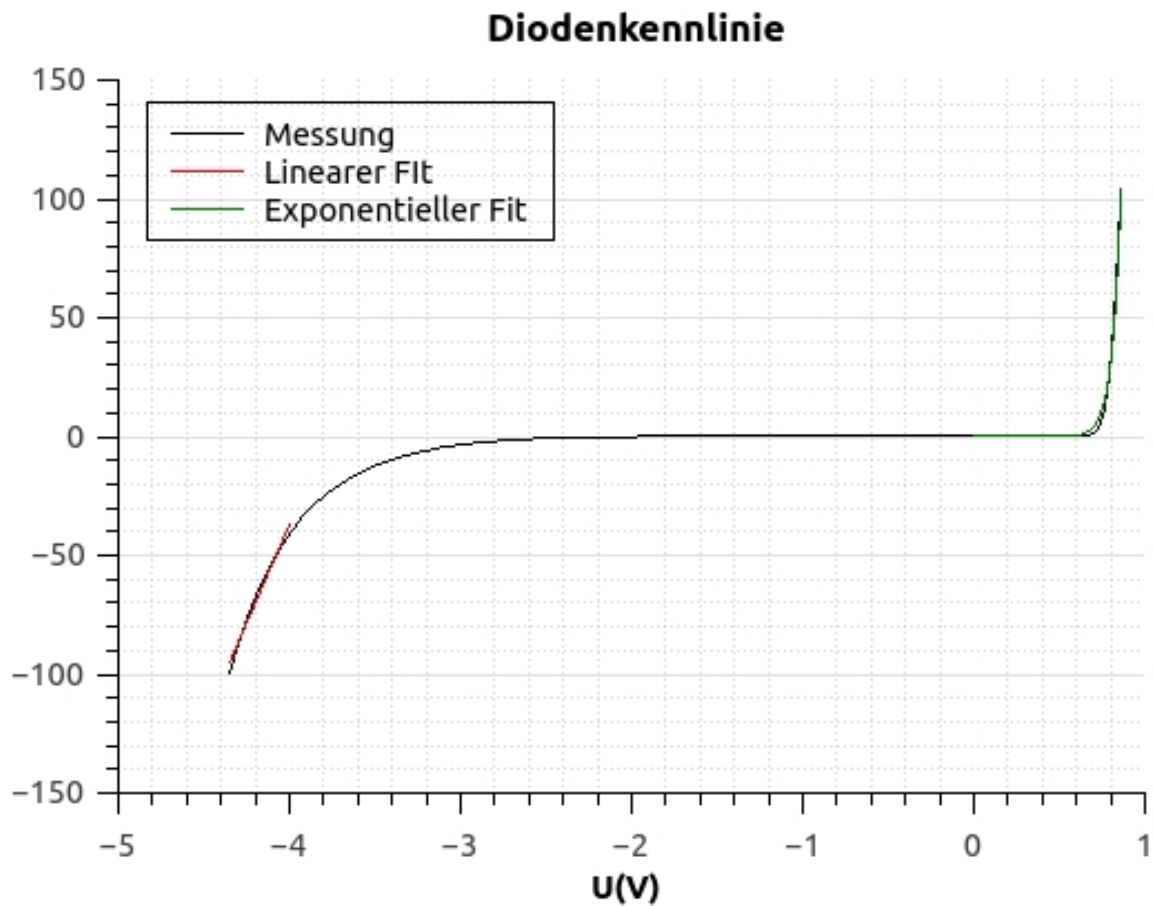
Darin sind:

- $U_F$  Die Spannung zwischen Anode und Kathode
- $I_D$  Der Strom durch die Diode
- $I_S(T)$  Der Sättigungsstrom
- $n = 1 \dots 2$  Der Idealfaktor
- $k_BT/e$  Die Temperaturspannung

Bei Raumtemperatur von 22°C erhält man:

$$e/k_BT = 39,33V^{-1} \quad (2)$$

Gemessen wurde die folgende Kennlinie:



Darin sind zwei Funktionen angefitet. Ein linearer Fit und ein exponentieller Fit. Die so erhaltenen Funktionen sind von der Form:

$$\begin{aligned} f(x) &= a_0 + a_1 x \\ g(x) &= A(\exp(x/t) - 1) \end{aligned} \quad (3)$$

Mit  $a_0 = 623,477$ ,  $a_1 = 165.16$ ,  $A = 3,145 \cdot 10^{-6}$  und  $t = 0.04965$

Aus den Fitts erhält man den Sättigungsstrom. Es gilt:

$$I_S = A = 3,145 * 10^{-6} mA \quad (4)$$

Den Idealitätsfaktor erhält man durch:

$$t = nk_B T / e \quad (5)$$

es folgt:

$$n = et / k_B T = 39,33 * 0,04965 = 1,95 \quad (6)$$

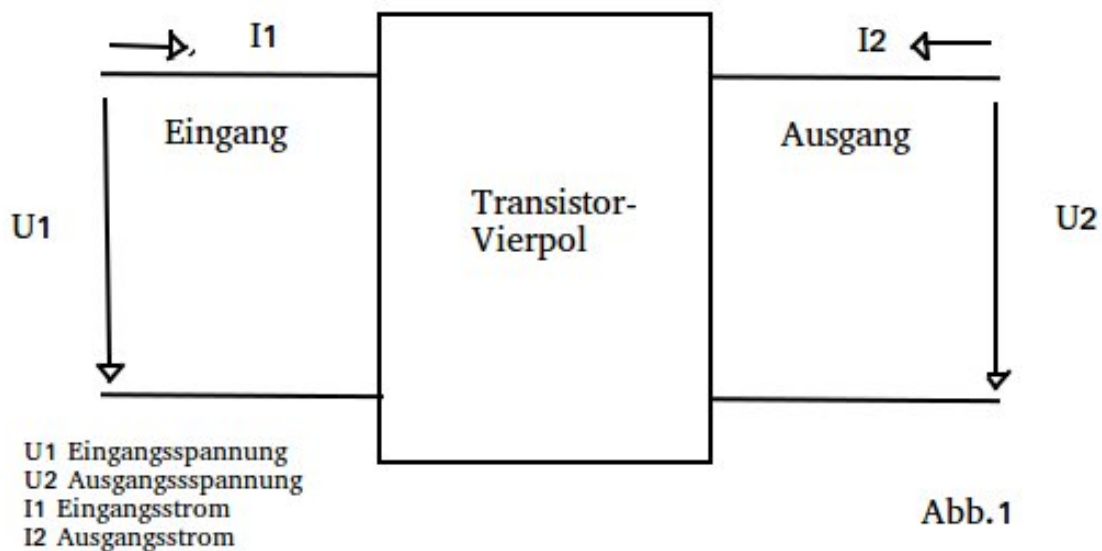
Aus dem linearen Fit erhält man die Durchbruchsspannung in dem man den Schnittpunkt der Gerade mit der U(V) Achse bestimmt. Die Durchbruchsspannung ist somit:

$$U(V) = -a_0/a_1 = 623,477/165,16 = -3,77V \quad (7)$$

Der niedrige Wert für die Durchbruchsspannung lässt auf eine Zenerdiode schließen. Die Durchbruchsspannung einer Zenerdiode liegt im Bereich 2,4 bis 200 V. Die Zenerdiode kann dauerhaft bei Durchbruchsspannung betrieben werden ohne kaputt zu gehen. Bei niedrigen Z-Spannungen (unterhalb von 3V) ist für den vergleichsweise schwachen Durchbruch der Zenereffekt verantwortlich. Bei höheren Spannungen dominiert der Lawinendurchbruch-Effekt.

### 3.2 Bipolartransistor

Ein elektrisches Bauelement mit 4 Anschlüssen, bei dem 2 Anschlüsse zu einem Tor zusammengefasst sind, nennt man Vierpol. Die Torbedingung ist dann erfüllt, wenn die beiden Ströme dieser Anschlüsse gegengleich sind.



Der Transistor kann als Vierpol angesehen werden. Er wird beschrieben durch die Gleichung:

$$\begin{pmatrix} U_1 \\ I_2 \end{pmatrix} = \begin{pmatrix} h_{11} & h_{12} \\ h_{21} & h_{22} \end{pmatrix} \begin{pmatrix} I_1 \\ U_2 \end{pmatrix} \quad (8)$$

mit:

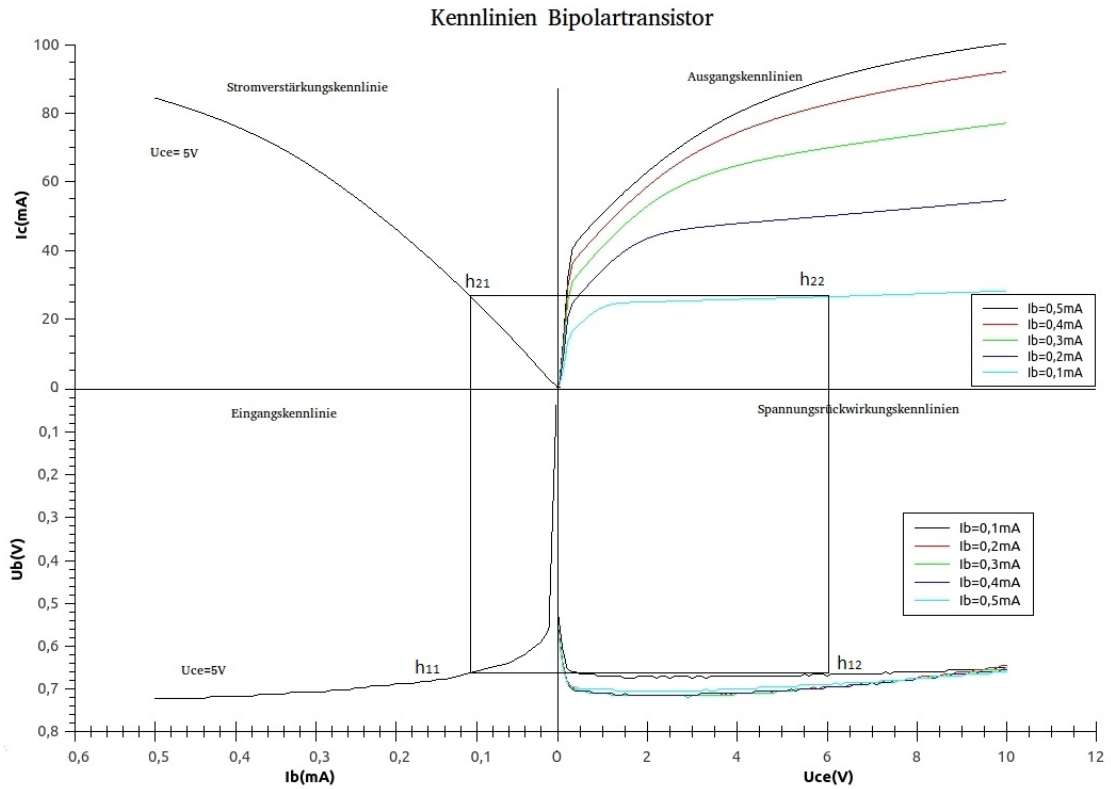
$$h_{11} = U_1 / I_1 \quad (9)$$

$$h_{12} = U_1 / U_2 \quad (10)$$

$$h_{21} = I_2 / I_1 \quad (11)$$

$$h_{22} = I_2 / U_2 \quad (12)$$

Allerdings gilt das für lineare elektrische Bauteile. Da der Bipolartransistor nicht linear ist, legt man einen Arbeitspunkt fest und betrachtet die Steigungen an dessen Stellen. Folgende Kennlinien wurden für den Bipolartransistor gemessen:



Vierquadreantenkennlinienfeld zur Bestimmung der Vierpolparameter  $h_{11}$ ,  $h_{21}$ ,  $h_{12}$  und  $h_{22}$  mit  $U_{CE}=6V$  und  $I_B=0,10mA$  als Arbeitspunkt.

An den Punkten  $h_{11}$ ,  $h_{21}$ ,  $h_{12}$  und  $h_{22}$  wurden Geraden von der Form  $y_{ij}(x)=A_{ij} \cdot x+B$  angefitet. Die Steigungen  $A_{ij}$  entsprechen den Vierpolparametern. So ergeben sich die Parameter:

$$h_{11} = \Delta U_b / \Delta I_b = 0,48909V/mA = 489,09\Omega \quad (13)$$

$$h_{12} = \Delta U_b / \Delta U_{ce} = 2,22 \cdot 10^{-3} \quad (14)$$

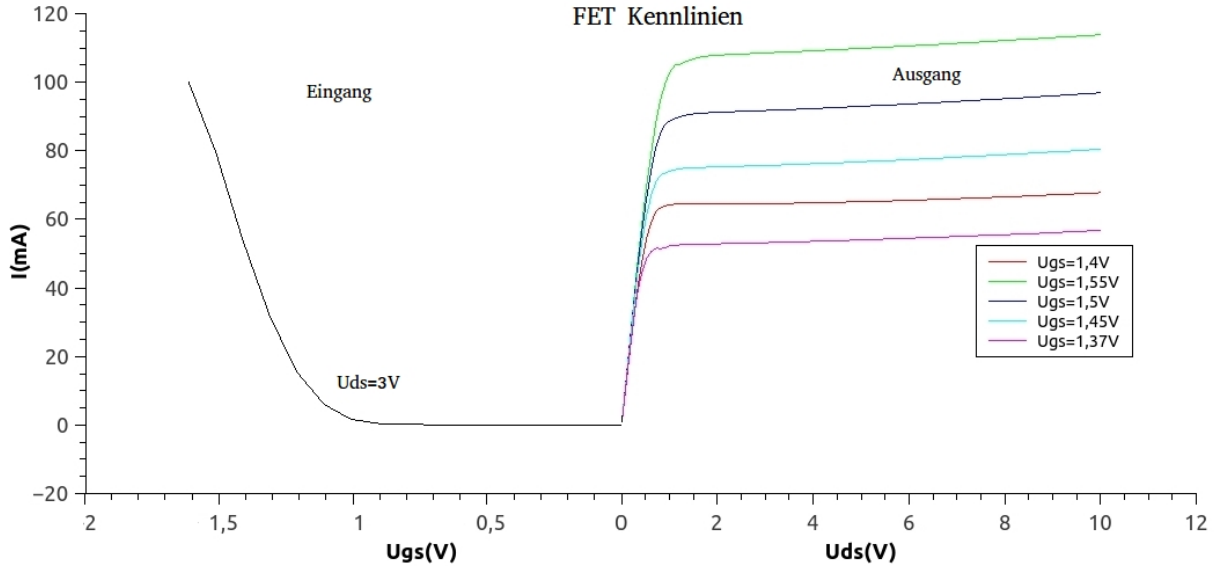
$$h_{21} = \Delta I_c / \Delta I_b = 231,79 \quad (15)$$

$$h_{22} = \Delta I_c / \Delta U_{ce} = 0,38mA/V = 3,8 \cdot 10^{-4}/\Omega \quad (16)$$

Damit ergibt sich:

$$\begin{pmatrix} U_b \\ I_c \end{pmatrix} = \begin{pmatrix} 489,09\Omega & 2,22 \cdot 10^{-3} \\ 231,79 & 3,8 \cdot 10^{-4}/\Omega \end{pmatrix} \begin{pmatrix} I_b \\ U_{ce} \end{pmatrix} \quad (17)$$

### 3.3 Feldeffekttransistor



Bei der Eingangskennlinie des untersuchten Transistors ist die Drain-Source-Stromstärke  $I$  bei einer Drain-Source-Spannung  $U_{DS}=3V$  gegen die Gate-Source-Spannung  $U_{gs}$  aufgetragen. Bei der Ausgangskennlinie ist die Drain-Source-Stromstärke  $I$  bei unterschiedlichen Gate-Source-Spannungen  $U_{gs}$  gegen die Drain-Source-Spannung  $U_{ds}$  aufgetragen.

Es handelt sich bei der Messung um einen MOSFET (Metall-Oxid-Halbleiter-Feldeffekttransistor). Dies erkennt man daran, dass bei der Gatespannung  $U_{gs}=0$  kein Strom fließt.

### 3.4 Solarzellen

Die Kennlinie einer idealen Solarzelle wird beschrieben durch:

$$I = I_S(\exp(eU/nk_B T) - 1) - I_K \quad (18)$$

Mit:

- $U$  Die Spannung zwischen Anode und Kathode
- $I_D$  Der Strom durch die Diode
- $I_S$  Sättigungsstrom
- $n = 1 \dots 2$  Idealitätsfaktor
- $I_K$  Erzeugter Strom durch Lichteinstrahlung

Der Kurzschlussstrom  $I_{SC}$  der Solarzelle ist der Strom, der fließt, wenn keine Spannung anliegt, also  $U = 0$ . Daraus folgt:

$$I_{SC} = -I_K \quad (19)$$

Die Leerlaufspannung  $V_{OC}$  ist die Spannung, wenn  $I = 0$  ist. Es ergibt sich für  $V_{OC}$ :

$$V_{OC} = (nk_B T/e) \ln(I_K/I_S + 1) \approx (k_B T/e) \ln(I_K/I_S) \quad (20)$$

Der Füllfaktor  $FF$  ist ein Maß für die Güte einer Solarzelle. Es gilt:

$$FF = \frac{P_{MPP}}{I_{SC} U_{OC}} = \frac{I_{MPP} U_{MPP}}{I_{SC} U_{OC}} \quad (21)$$

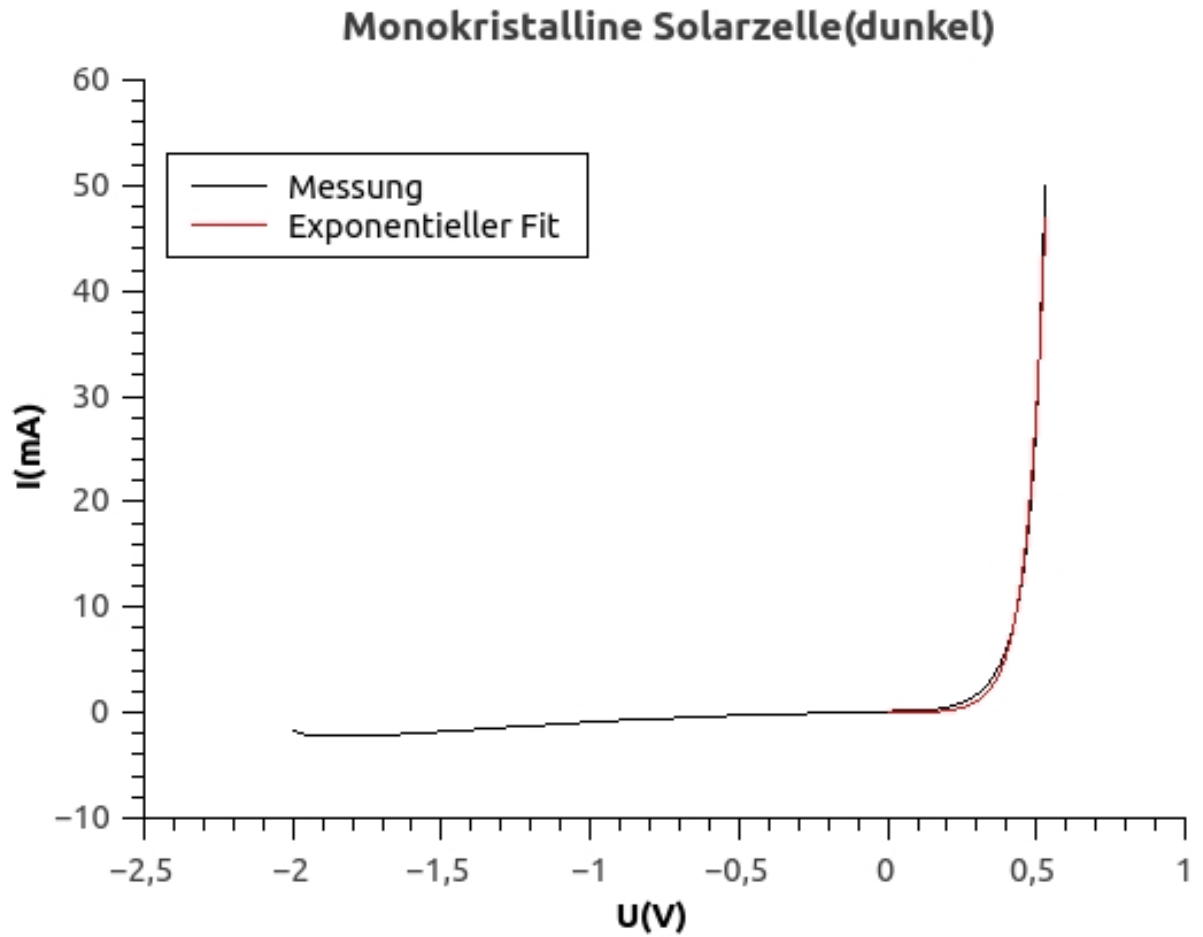
Der Wirkungsgrad  $\eta$  ist definiert durch das Verhältnis von  $P_{MPP}$  und der Eingangsleistung des Lichtes  $P_{Ein}$ :

$$\eta = \frac{P_{MPP}}{P_{Ein}} \quad (22)$$

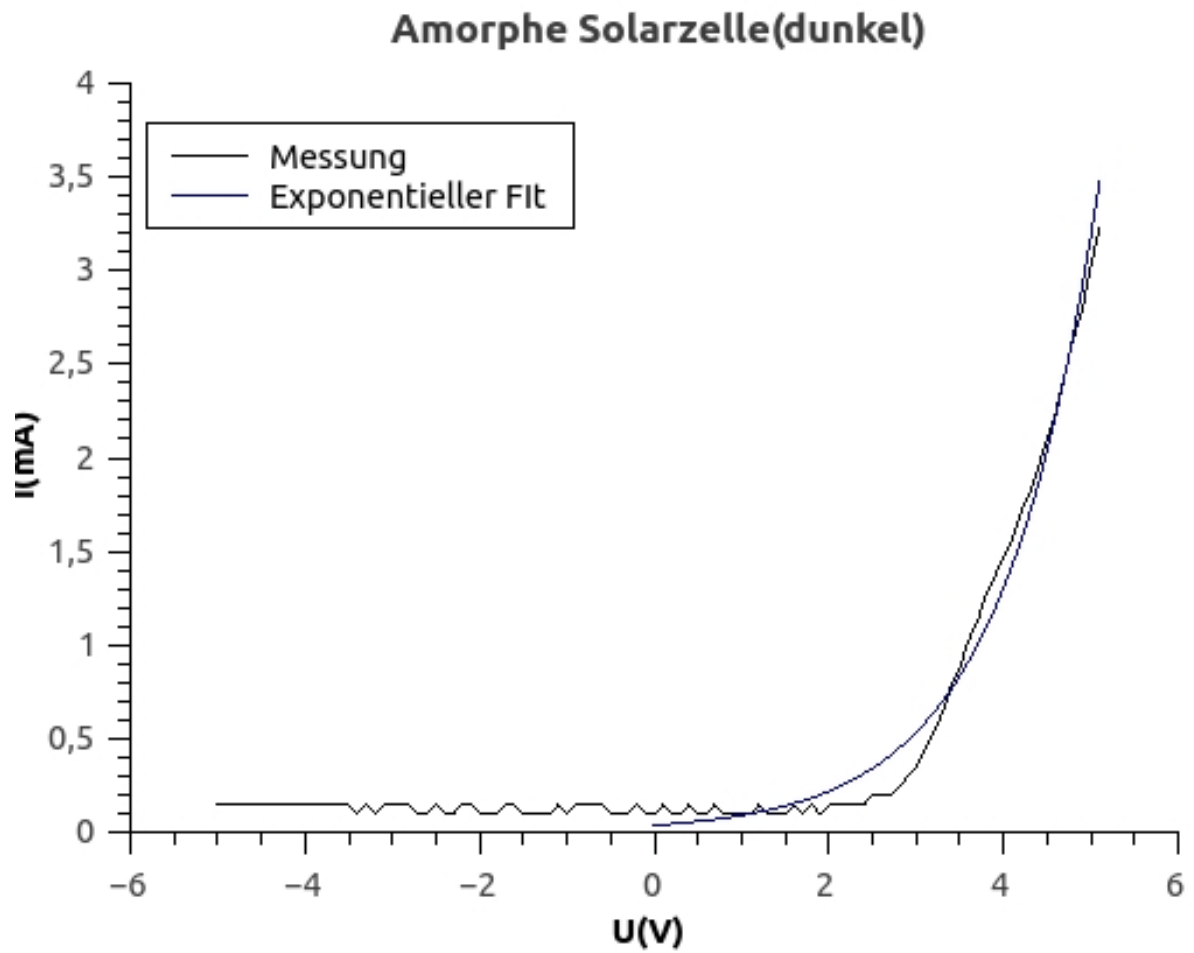
### 3.4.1 Dunkelkennlinie

Die Dunkelkennlinie einer Solarzelle entspricht näherungsweise einer Diodenkennlinie. Aus dieser lassen sich, wie bereits bei der Diode, der Sättigungsstrom und der Idealfaktor bestimmen.

#### Monokristalline Solarzelle



Wertet man die Messungen aus, kommt man auf einen Sättigungsstrom von  $I_S=7,98\text{mikro A}$  und auf einen Idealfaktor von  $n=2,40$ .



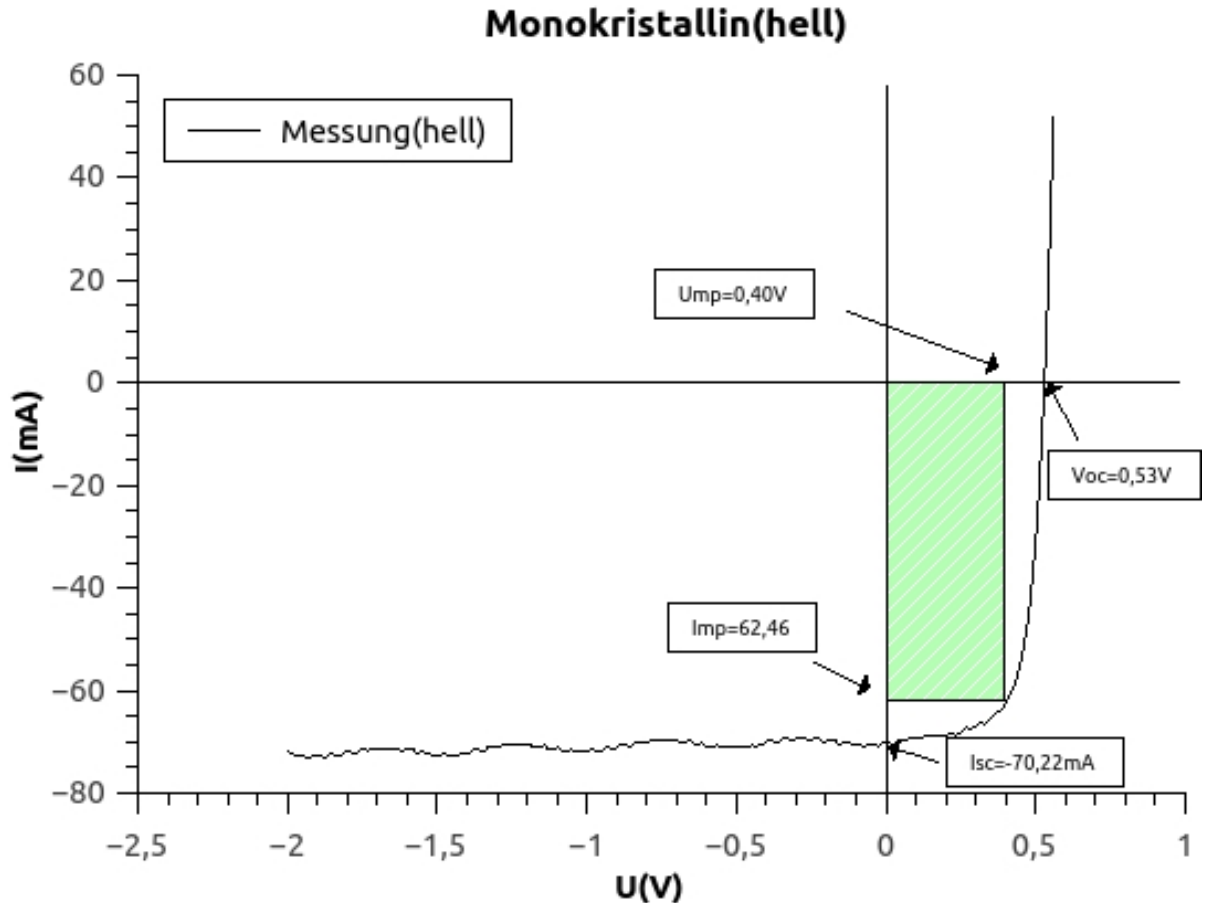
Man kommt auf einen Sättigungsstrom von 36,71 mikroA und einen Idealtitätsfaktor von  $n=44,07$ .

Der Idealitätsfaktor einer monokristallinen Solarzelle ist im Vergleich zu einer amorphen Solarzelle viel kleiner. Amorphe Zellen haben im Gegensatz zu idealen Zellen eine stark asymmetrische Raumladungszone und parasitäre Verunreinigungen, die diesen hohen Idealitätsfaktor erklären.

### 3.4.2 Hellkennlinie

Anhand der Hellkennlinie lassen sich der Kurzschlussstrom  $I_{SC}$ , die Leerlaufspannung  $U_{OC}$ , der Maximum Power Point und daraus der Füllfaktor FF und der Wirkungsgrad  $\eta$  bestimmen. Der Kurzschlussstrom und die Leerlaufspannung entsprechen den Schnittpunkten mit der X- und Y-Achse. Der Maximum Power Point, abgekürzt MPP, ist der Punkt einer Solarzelle, an dem diese die maximale Leistung bringt.

#### Monokristalline Solarzelle



Man kann eine Leerlaufspannung von  $U_{OC} = 0,53V$  und einen Kurzschlussstrom von  $I_{SC} = 70,22mA$  ablesen.

Um die beiden Solarzellen zu vergleichen wird außerdem der Kurzschlussstrom pro Fläche bestimmt.

$$\frac{I_{SC}}{A} = \frac{70,22mA}{1/4 * (5,3cm)^2 * \pi} = 31,83A/m \quad (23)$$

Der Maximum Power Point ist erreicht, wenn  $I_{mp}=62,46mA$  und  $U_{mp} = 0,40V$ .

Setzt man dies nun in die ermittelten Werte in die Formel 17 für den Füllfaktor FF ein, kommt man auf:

$$FF = \frac{62,46mA * 0,40V}{70,22mA * 0,53V} = 0,67 \quad (24)$$

Der errechnete Füllfaktor liegt etwas niedriger als die üblichen Füllfaktoren monokristalliner Solarzellen (0,75V - 0,85V).

Um den Wirkungsgrad  $\eta$  zu berechnen benötigt man die Leistung des einfallenden Lichtes.

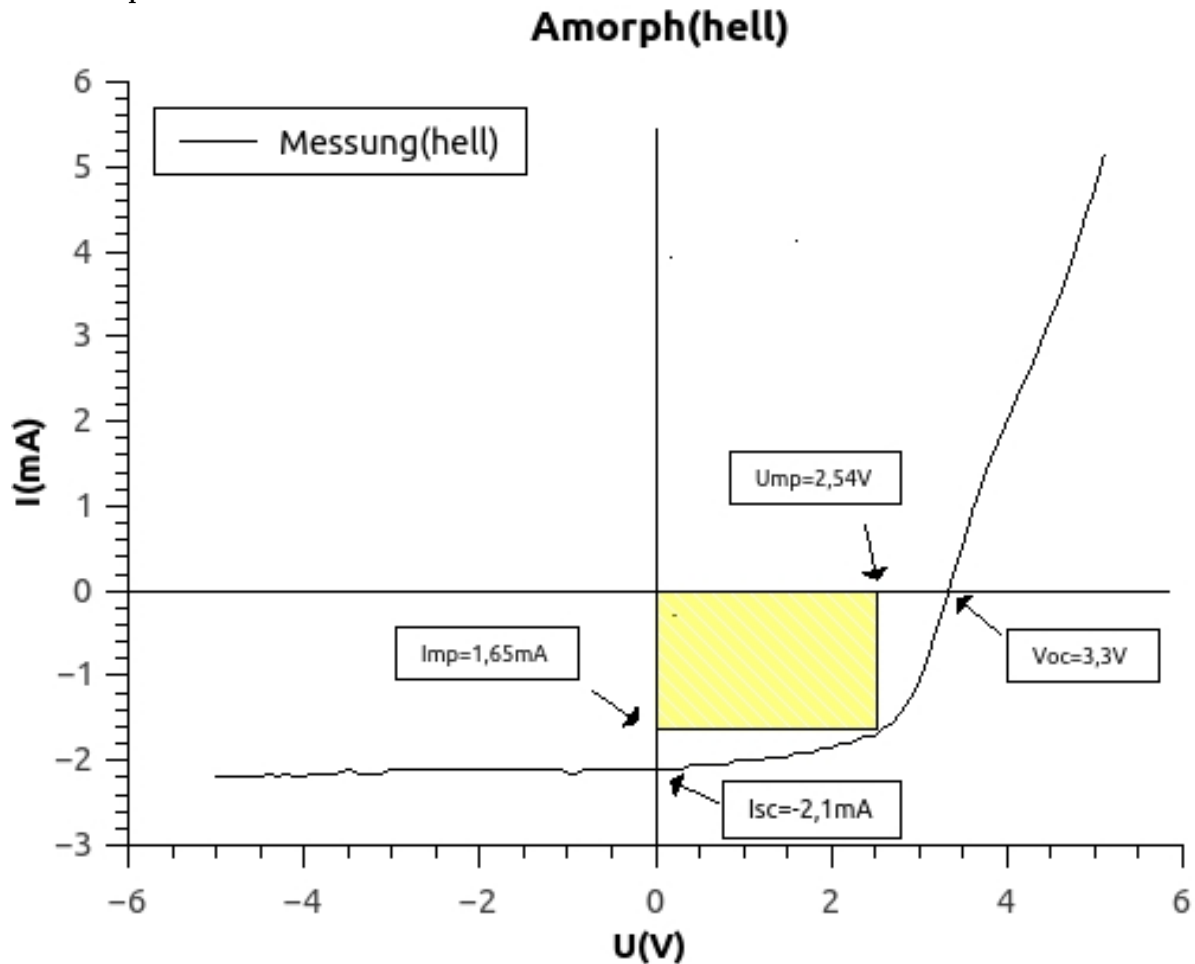
$$P_{Ein} = \frac{P_{Lampe}}{2\pi r^2} * A = \frac{100W}{\pi * (29,5cm)^2 * 2} * 1/4 * \pi * (5,3cm)^2 = 0,40W \quad (25)$$

Damit kommt man nun auf einen Wirkungsgrad von:

$$\eta = \frac{P_{MPP}}{P_{Ein}} = 6,25\text{Prozent} \quad (26)$$

Der Wirkungsgrad ist viel geringer als es normalerweise bei einer monokristallinen Solarzelle üblich ist (16-22Prozent). Dies kann zum einen an dem bereits zu niedrigen Füllfaktor liegen und zum anderen daran, dass das Licht der Lampe nicht die für die Solarzelle optimale Wellenlänge und somit Energie hat.





Diesmal kann man einen Kurzschlussstrom von  $I_{SC}=2,1\text{mA}$  und eine Leerlaufspannung von  $V_{OC} = 3,3\text{V}$  ablesen. Der Kurzschlussstrom pro Fläche entspricht:

$$\frac{I_{SC}}{A} = \frac{2,1\text{mA}}{2,3\text{cm} * 3,3\text{cm}} = 2,77\text{A/m} \quad (27)$$

Dieser ist im Vergleich zum monokristallinen Kurzschlussstrom pro Fläche um den Faktor 10 kleiner. Der Maximum Power Point ist erreicht bei:  $I_{mp} = 1,65\text{mA}$  und  $U_{mp} = 2,54\text{V}$ .

Dies ergibt einen Füllfaktor von:

$$FF = \frac{1,65\text{mA} * 2,54\text{V}}{2,1\text{mA} * 3,3\text{V}} = 0,60 \quad (28)$$

Das Ergebnis liegt in dem Bereich, den man bei amorphen Zellen erwartet (0,5 bis 0,7).

Die bei der amorphen Solarzelle einfallende Lichtleistung entspricht:

$$P_{Ein} = \frac{P_{Lampe}}{2\pi r^2} * A = \frac{100\text{W}}{\pi * 2 * (29,5\text{cm})^2} * 2,3\text{cm} * 3,3\text{cm} = 0,14\text{W} \quad (29)$$

Dadurch kommt man auf einen Wirkungsgrad von:

$$\eta = \frac{P_{MPP}}{P_{Ein}} = 2,99\% \quad (30)$$

Auch hier ist der Wirkungsgrad deutlich kleiner als es zu erwarten war. Dies ist vermutlich wieder darauf zurück zu führen, dass die Lampe nicht die optimalen Energien emittiert.

## 4 Fehlerrechnung

### 4.1 Diode

#### 4.1.1 Durchbruchsspannung

Der Fehler der Durchbruchsspannung wird aus den Fehlern der linearen Fits berechnet. Mit  $\Delta a_0=15,055$  und  $\Delta a_1=3,73669$

$$\Delta U(V) = \sqrt{\left(\frac{\partial U(V)}{\partial a_1} * \Delta a_1\right)^2 + \left(\frac{\partial U(V)}{\partial a_0} * \Delta a_0\right)^2} = 0,085V \quad (31)$$
$$U(V) = (-3,77 \pm 0,09)V$$

#### 4.1.2 Sättigungsstrom und Idealitätsfaktor

Der Fehler des Sättigungsstroms ist der Fehler der Fits der Diodengleichung

$$\Delta I_S = \Delta A = 1,379 * 10^{-6}mA \quad (32)$$
$$I_S = (3,145 \pm 1,379) * 10^{-6}mA$$

Aus dem Fehler des Faktors  $t$  ( $\Delta t=1,28*10^{-3}$ ) im Fit der Diodengleichung lässt sich der Fehler des Idealitätsfaktors berechnen.

$$\Delta n = \frac{e}{k_b T} \Delta t = 0,05 \quad (33)$$
$$n = 1,95 \pm 0,05$$

### 4.2 Bipolartransistor

Der Fehler der Vierpolparameter entspricht dem Fehler der Steigung aus den Fits  $A_{ij}$ :

$$\begin{aligned} \Delta h_{11} &= 19,39\Omega \\ h_{11} &= (489,09 \pm 19,39)\Omega \\ \Delta h_{12} &= 1,28 * 10^{-3} \\ h_{12} &= (2,22 \pm 1,28) * 10^{-3} \\ \Delta h_{21} &= 2,17 \\ h_{21} &= 231,79 \pm 2,17 \\ \Delta h_{22} &= 6,86 * 10^{-3}/\Omega \\ h_{22} &= (0,38 \pm 6,86 * 10^{-3})/\Omega \end{aligned} \quad (34)$$

### 4.3 Feldeffekttransistor

Keine Fehlerrechnung notwendig!

### 4.4 Solarzellen

#### 4.4.1 Sättigungsstrom und Idealitätsfaktor

Für den Fehler des Sättigungsstromes und des Idealitätsfaktors wird die gleiche Rechnung wie für die Diodenkennlinie verwendet.

$$\begin{aligned} \Delta I_{S_{mono}} &= 1,31\mu A \\ I_{S_{mono}} &= (7,98 \pm 1,31)\mu A \\ \Delta n_{mono} &= 0,05 \\ n_{mono} &= 2,40 \pm 0,05 \\ \Delta I_{S_{amph}} &= 8,21\mu A \\ I_{S_{amph}} &= (36,71 \pm 8,21)\mu A \\ \Delta n_{amph} &= 2,13 \\ n_{amph} &= 44,07 \pm 2,13 \end{aligned} \quad (35)$$

#### 4.4.2 Leerlaufspannung, Kurzschlussstrom, Füllfaktor und Wirkungsgrad

Da die Leerlaufspannung, der Kurzschlussstrom und der Füllfaktor sich direkt aus den Diagrammen ergeben haben wir für sie keine Fehlerrechnung durchgeführt.

Der Fehler für den Wirkungsgrad kann durch Fehlerfortpflanzung berechnet werden. Die einzigen Größen, die nicht vorgegeben waren sind die Flächen der Solarzellen und der Abstand der Lichtquelle zur Solarzelle.

$$\Delta\eta = \frac{\partial\eta}{\partial r} * \Delta r + \frac{\partial\eta}{\partial A} * \Delta A \quad (36)$$

mit:  $\Delta r=0,5\text{cm}$ ,  $\Delta A_{amorph}=2,3\text{cm} * 0,05\text{cm} + 3,3\text{cm} * 0,05\text{cm}=0,28\text{cm}^2$  und  $\Delta A_{mono}=1/2 * \pi * 5,3\text{cm} * 0,05\text{cm}=0,42\text{cm}^2$ .  
Daraus ergibt sich:

$$\begin{aligned} \Delta\eta_{mono} &= \frac{P_{MPP} * 4\pi r}{P_{Lampe} A} \Delta r + \frac{P_{MPP} * 2\pi r^2}{P_{Lampe} A^2} \Delta A = 0,327\% \\ \eta_{mono} &= 6,25\% \pm 0,327\% \\ \Delta\eta_{amorph} &= \frac{P_{MPP} * 4\pi r}{P_{Lampe} A} \Delta r + \frac{P_{MPP} * 2\pi r^2}{P_{Lampe} A^2} \Delta A = 0,214\% \\ \eta_{amorph} &= 2,99\% \pm 0,214\% \end{aligned} \quad (37)$$